

## Evaluation of parameters affecting electrocatalytic activity in nicotine sensor

Z.Goodarzi<sup>1</sup>, B.Ebrahimi Hosein zadeh <sup>2\*</sup>, M.Maghrebi <sup>1</sup>, A.Fakhari Zavareh <sup>3</sup>, M.Barshan<sup>2</sup>, H.Shaki<sup>4</sup>

<sup>1</sup> Department of Chemical Engineering, Faculty of Engineering, Ferdowsi University of Mashad

<sup>2</sup> Department of Life Science Engineering, Faculty of New Science and Technology, University of Tehran

<sup>3</sup> Department of Chemistry, Faculty of Science, Shahid Beheshti University

<sup>4</sup> Department of Biotechnology, Faculty of Chemical Engineering, Tarbiat Modares University

### Abstract

Nicotine can be measured electrochemically using Cu nanoparticles and CNT-modified glassy carbon electrode. The slow electrochemical oxidation makes it difficult to measure the concentration of nicotine electrochemically using normal electrodes. To improve the oxidation rate, different mediators and chemically modified electrodes have been used. In this experiment, concentration of nicotine in aqueous solution was determined using MWCNT-modified glassy carbon electrode in presence of copper nanoparticles (Cu NPs) as mediator.

For this purpose, the glassy carbon electrode (GCE) was modified with suspended MWCNT in dimethylformamide and Cu NPs was electrochemically deposited on MWCNT-GCE subsequently.

Also, experimental parameters affecting the deposition of Cu NPs on MWCNT-GCE such as cycles, copper salt concentration and scan rate were found to be optimum at 20 cycles, 1.75  $\mu\text{mol L}^{-1}$  and 100  $\text{mVs}^{-1}$  respectively.

Finally, the modified electrode was characterized by cyclic voltammetry and successfully used to measure the concentration of nicotine in aqueous solution.

**Keywords:** multi wall carbon nanotube, copper nanoparticles, nicotine, cyclic voltammetry, nanobiosensor.

\* Corresponding author

Address: Bahman Ebrahimi Hosein zadeh ,Department of Life Science Engineering, Faculty of New Science and Technology, University of Tehran  
Tel: +98 21 8861 8431-3  
Fax: +98 21 8861 7087  
E-mail: Bahman.Ebrahimi@ut.ac.ir

## بررسی فاکتورهای مؤثر بر فعالیت الکتروکاتالیستی در حسگر نیکوتین

زهره گودرزی<sup>۱</sup>، بهمن ابراهیمی حسینزاده<sup>۲\*</sup>، مرتضی مغربی<sup>۱</sup>، علیرضا فخاری زواره<sup>۳</sup>، محمد برشان<sup>۳</sup>، حسین شکی<sup>۴</sup>

<sup>۱</sup> دانشگاه فردوسی مشهد، دانشکده فنی، گروه مهندسی شیمی

<sup>۲</sup> دانشگاه تهران، دانشکده علوم و فنون نوین، گروه نانویوتکنولوژی

Bahman.Ebrahimi@ut.ac.ir

<sup>۳</sup> دانشگاه شهید بهشتی، دانشکده شیمی

<sup>۴</sup> دانشگاه تربیت مدرس، دانشکده مهندسی شیمی، گروه بیوتکنولوژی

### چکیده

الکترود کربن شیشه‌ای اصلاح شده با نانولوله کربنی عامل دار شده و نانوذرات مس می‌تواند نیکوتین را به طریق الکتروشیمیایی اندازه‌گیری کند.

اکسایش الکتروشیمیایی نیکوتین در سطح الکترودهای معمولی بسیار کند است، از این رو نمی‌توان آنها را در سطح الکترودهای معمولی به روش الکتروشیمیایی تعیین و اندازه‌گیری نمود. بنابراین برای تسريع فرایند الکترودی آنها، از واسطه‌گرهای مختلف استفاده و الکترودهای اصلاح شده شیمیایی ساخته می‌شود، به این منظور، ساخت الکترود کربن شیشه‌ای اصلاح شده با نانولوله کربنی عامل دار شده و نانوذرات مس برای اندازه‌گیری الکتروشیمیایی نیکوتین مدنظر قرار گرفت. در این مسیر، ابتدا الکترود کربن شیشه‌ای اصلاح شده با نانولوله‌های کربنی تک‌دیواره از طریق قطره گذاری سوسپانسیونی از نانولوله کربنی چند دیواره در حال دی متیل فرمامید بر سطح الکترود کربن شیشه‌ای تهیه می‌شود و سپس با ترسیب الکتروشیمیایی لایه‌ای از نانوذرات مس بر سطح آن، الکترود کربن شیشه‌ای اصلاح شده با نانولوله‌های کربنی چند دیواره و نانوذرات مس ساخته می‌شود.

بعد از بهینه کردن عوامل مؤثر بر شرایط انجام فرایند الکترودی و تهیه الکترودهای اصلاح شده، از روش‌های ولتاوری برای اندازه‌گیری نیکوتین در سطح الکترود اصلاح شده استفاده شد. در ادامه‌ی این تحقیق به بهینه‌سازی فاکتورهای مؤثر بر تهشیین نانوذرات مس از جمله تعداد سیکل، غلظت نمک مس و سرعت اسکن پرداختیم که به ترتیب مقادیر  $20 \mu\text{M}$  و  $100 \text{ mV/s}$  برابر پارامترهای مذکور به دست آمد.

کلیدواژگان: نانولوله‌ی کربنی چند جداره؛ نانوذرات مس؛ نیکوتین؛ ولتاوری سیکلی؛ نانویوتکنولوژی

\* عهده‌دار مکاتبات

نشانی: تهران، خیابان کارگر شمالی، دانشکده علوم و فنون نوین دانشگاه تهران  
تلفن: ۰۲۱۶۱۱۸۴۰۱، دورنگار: ۰۲۱۶۱۱۸۴۰۱، پیام نگار: Bahman.Ebrahimi@ut.ac.ir

## ۱- مقدمه

زیادی در زمینه‌ی شناسایی الکتروآنالیتیکی نیکوتین انجام نشده است.

یکی از کاربردهای جذاب نانوذرات و نانولوله‌های کربنی تسهیل واکنش‌های انتقال الکترون است، به همین دلیل به عنوان یک واسطه‌گر در ساخت حسگرها و زیست حسگرها استفاده می‌شوند که سیستیک واکنش‌های الکتروشیمیایی کند را طی فرایندی به نام الکتروکاتالیز، تسريع کرده و راهی برای اندازه‌گیری الکتروشیمیایی آنها فراهم می‌نماید.

کار قبلی‌مان ساخت الکترودی بود که برای اولین بار از نانوذرات به همراه نانولوله‌ها برای ساخت الکترودی که نیکوتین را شناسایی کند، استفاده شد. همچنین روش تهشیینی به کار گرفته شده، روش ولتاوری سیکلی بود که اخیراً توسط لیانگ سو نیز مورد استفاده قرار گرفته است [۱۸]. در کار حاضر به بررسی و بهینه‌سازی شرایط جهت ایجاد و تهشیینی نانوذرات به منظور دستیابی به پاسخ جریان بهتر، پرداخته‌ایم.

## ۲- بخش تجربی

### ۲-۱- مواد

نانولوله‌های کربنی چند دیواره از پژوهشکده صنعت نفت خریداری گردید. نیکوتین، اسید نیتریک، اسید سولفوریک (۹۸٪) و دی‌متیل فرماید (۹۹٪) و سایر مواد شیمیایی رایج از شرکت مرک خریداری شد. حالا اصلی که آب مقطر بود در آزمایشگاه تهیه گردید. گاز نیتروژن جهت خشک کردن الکترود دارای خلوص ۹۹٪ استفاده شد.

### ۲-۲- دستگاه‌ها

ولتاوری سیکلی توسط آنالیزکننده شیمیایی (۱۱ اتولب نوع III ساخت کشور هلند) انجام شد. در پژوهش حاضر از سیستم سه الکترودی استفاده شد که از الکترود کربن شیشه‌ای اصلاح شده (قطر ۱/۸ میلی‌متر) به عنوان الکترود کار، از سیم پلاتین به عنوان الکترود کمکی و از الکترود Ag/AgCl (۳ مولار) به عنوان الکترود مرجع استفاده شد. به منظور ایجاد سوسپانسیون همگن نانولوله‌های کربنی از دستگاه اولتراسوند (ساخت شرکت wiseClean کره) استفاده شد.

نانولوله‌ها توجه قابل ملاحظه‌ای را در سال‌های اخیر به خود اختصاص داده‌اند. آن‌ها دارای خواص منحصر به فردی همچون پایداری، مقاومت مکانیکی، رسانایی، سطح ویژه بالا و فعالیت کاتالیستی خوبی می‌باشند [۵-۱۰]. گزارشات اخیر حاکی از این است که الکترودهای اصلاح شده با نانولوله‌ها به طور مؤقت‌آمیزی قادر به شناسایی گونه‌های الکتروکاتیو می‌باشند [۱۱-۱۳] و باعث بهبود پاسخ جریان می‌شوند.

اخيراً! مطالعات زیادی در مورد موادی که بتوانند با نانولوله‌ها اثر هم‌افزایی داشته باشند، صورت گرفته است که در این بین نانوذرات فلزات واسطه [۱۴-۱۷] به عنوان کاندید مناسبی جهت دستیابی به این هدف انتخاب شده‌اند. از بین تمام آن‌ها، نانوذرات مس به علت ارزانی، در دسترس بودن و راحتی کار با آن‌ها، توجه بسیاری از محققان را به خود جلب نموده‌اند.

علاوه‌براین، در حال حاضر روش‌های تهشیینی این نانومواد از دیگر سرتیفیکات جذاب علم الکتروشیمی می‌باشد. روش جدیدی که ما به این منظور در کار قبلی‌مان به کار برده‌یم، استفاده از روش ولتاوری سیکلی جهت تهشیینی نانوذرات مس بر روی نانولوله‌های است. که این روش، پیش‌تر توسط لیانگ سو و همکارانش به منظور تهشیینی نانوفلاورهای پلاتین بر روی غشای نانولوله‌های کربنی تک- جداره به کار گرفته شد [۱۸].

نیکوتین یکی از مواد شیمیایی بسیار سمی مرتبط با آلکالوئیدهای تباکو می‌باشد [۱۹]. مصرف تباکو باعث ایجاد بیماری‌های بسیار زیادی در بدن فرد می‌گردد از جمله انواع متعدد سرطان همچون سرطان ریه و مشکلات قلبی-عروقی. مصرف دخانیات علت اصلی مرگ و میر در ایالات متحده آمریکا است که باعث بیش از ۴۴۰۰۰ مرگ ناشی از بیماری‌های مختلف و هزینه بیش از ۷۵ میلیارد دلار در سال به منظور هزینه‌های مستقیم پزشکی می‌شود [۲۰]. بنابراین شناسایی نیکوتین دارای اهمیت وافری است. تا کنون کارهای

شدند. محدوده پتانسیل  $-0.75$  –  $+0.75$  ولت تا  $+0.3$  ولت بر اساس  $3\text{ mol/L}$   $\text{Ag}/\text{AgCl}$  و تعداد  $20$  سیکل و سرعت روش بهینه شده  $100\text{ mV/s}$  تهشینی الکتریکی نانوذرات مس از محلول نمکی اش انجام شد.

### ۳- نتایج و بحث

#### ۳-۱- تعیین محدوده پتانسیل به منظور تهشینی نانوذرات مس

شکل (۱) ولتاوگرام سیکلی معمول الکترود کربن شیشه ای را در الکتروولت  $1\text{ mol/L}$   $\text{KCl}$   $0/1$  را نشان می دهد که شامل  $\text{CuCl}_2$   $1/75\text{ }\mu\text{mol/L}$  می باشد. همان طور که در شکل (۱) مشاهده می گردد این ولتاوگرام شامل دو جفت پیک ردوکس  $\text{A}1/\text{C}1$  و  $\text{A}2/\text{C}2$  می باشد که می توان آنها را  $\text{Cu}(\text{II})/\text{Cu}(\text{I})$  و  $\text{Cu}(\text{I})/\text{Cu}(\text{0})$  نسبت داد. همان طور که در شکل (۱) ملاحظه می شود،  $\text{Cu}(\text{II})$  در  $-0.32\text{ V}$  شروع به دی اکسیدایز شدن به  $\text{Cu}(\text{I})$  می کند که این روند دی اکسیدایز شدن به  $\text{Cu}(\text{0})$  تا پتانسیل کمتر از  $-0.25\text{ V}$  ادامه می یابد. بنابراین حد پایین محدوده اعمالی پتانسیل جهت تهشینی نانوذرات مس باید کمتر از  $-0.25\text{ V}$  باشد. که محدوده پتانسیل اعمالی باید تمامی پیک ها را در بر گیرد. یعنی از  $-0.75\text{ V}$  تا  $-0.32\text{ V}$  باید محدوده پتانسیل اعمالی جهت تهشینی نانوذرات مس باشد.

#### ۳-۲- آماده سازی نانولوله های کربنی چند جداره

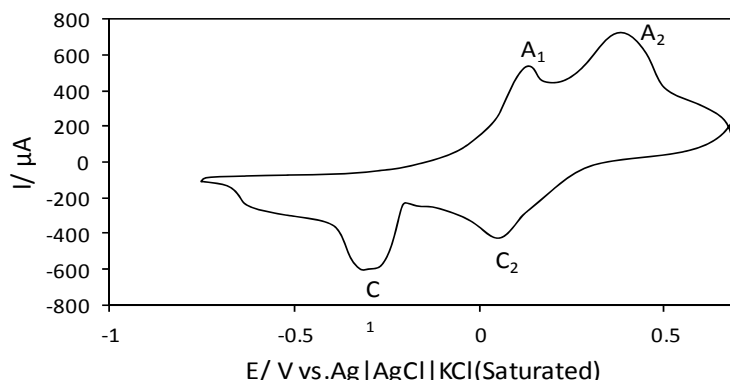
به منظور فعال کردن نانولوله های کربنی،  $2\text{ }\mu\text{g}$  MWNTs به  $10\text{ }\mu\text{l}$  لیتر محلول اسید سولفوریک و اسید نیتریک اشباع با نسبت  $3:1$  اضافه می گردد. سپس محلول فوق به مدت  $24$  ساعت رفلaks می شود. سپس MWNTs چندین بار با آب دو بار تقطیر شسته می شوند تا جایی که نانولوله ها خشی شوند. در این روش، نانولوله های کربنی توسط اسید اکسید می شوند و با تشکیل گاز  $\text{CO}_2$  و خروج آن از محلول، گروه های فعال کربوکسیل در انتهای نانولوله های کربنی تشکیل شده و به این ترتیب نانولوله های کربنی فعال می شوند.

#### ۴-۲- آماده سازی MWNTs/GCE

قبل از اصلاح سطح، الکترود کربن شیشه ای با دوغاب آلمینیا پولیش داده می شود و با آب یون زدایی شده چندین بار شسته می شود. سپس  $2\text{ }\mu\text{g}$  MWNTs در  $1\text{ }\mu\text{l}$  لیتر دی متیل فرمامید به مدت  $15$  دقیقه در دستگاه اولتراسوند قرار می گیرد تا یک سوسپانسیون سیاه کاملاً همگن به دست بیاید. سپس  $10\text{ }\mu\text{l}$  میکرولیتر از این سوسپانسیون روی سطح الکترود ریخته می شود و توسط باد گرم ششوار سطح الکترود خشک می شود.

#### ۵-۲- آماده سازی Cu NPs /MWNTs/GCE

نانوذرات مس به صورت الکتروشیمیایی روی الکترود MWNTs/GCE تحت ولتاوی سیکلی در محلول  $1/75\text{ }\mu\text{mol L-1}$   $\text{CuCl}_2$   $0/1\text{ mol L-1}$   $\text{KCl}$  شامل



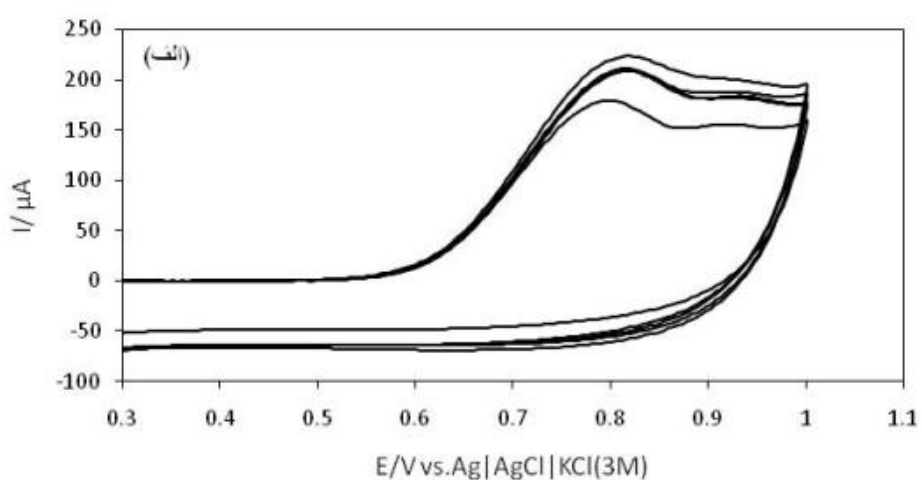
شکل ۱- ولتاوگرام چرخه ای در محلول  $0/1\text{ mol L-1}$   $\text{KCl}$  شامل  $0/0.2\text{ M}$   $\text{CuCl}_2$  با سرعت روش  $50\text{ mVs-1}$

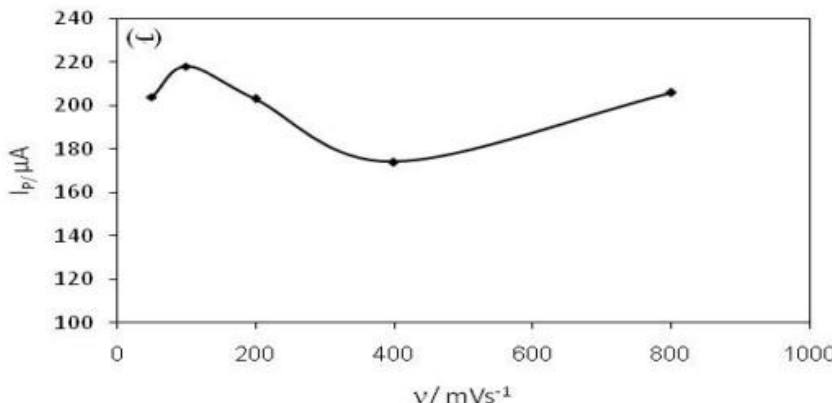
گردد. با توجه به اینکه در هر مرحله کدام یک از این دو اثر مخالف بر دیگری غلبه کند منحنی تغییرات شدت جریان پیک بر حسب سرعت روش تهشینی الکتریکی حالت صعودی و یا نزولی خواهد داشت. در شکل (۲) قسمت ابتدایی منحنی که از سرعت  $50 \text{ mV.s}^{-1}$  شروع و تا  $100 \text{ mV.s}^{-1}$  ادامه می-یابد روند صعودی دارد که ممکن است به دلیل افزایش تولید سایت‌های فعال باشد در واقع در اینجا، فیلم نانوذرات مس ضخامت چندانی ندارد و مقاومت فیلم ناچیز می‌باشد. قسمت دوم منحنی از سرعت  $100 \text{ mV.s}^{-1}$  شروع و تا  $400 \text{ mV.s}^{-1}$  ادامه می‌یابد و روند نزولی دارد که ممکن است به علت افزایش یافتن ضخامت فیلم و درنتیجه افزایش بیشتر مقاومت فیلم در برابر اکسیداسیون و احیا یون‌ها باشد. قسمت سوم منحنی از سرعت  $400 \text{ mV.s}^{-1}$  شروع و تا  $800 \text{ mV.s}^{-1}$  ادامه می‌یابد و روند صعودی آن ممکن است به علت تولید نانوذرات کوچکتر در واحد سطح و در نتیجه کاهش ضخامت فیلم و از طرفی فعالیت بیشتر به علت کوچکتر شدن سایز نانوذرات باشد بنابراین در این ناحیه روند صعودی خواهیم داشت.

همان‌طور که در شکل (۲) مشاهده می‌شود سرعت روش بهینه  $100 \text{ mV.s}^{-1}$  می‌باشد.

### ۲-۳- سرعت روش به منظور تهشینی الکتریکی نانوذرات مس

با توجه به بررسی‌های انجام شده به نظر می‌رسد که بتوان با تغییر سرعت روش در مرحله‌ی نشاندن نانوذرات مس شرایط را برای الکتروکاتالیز اکسایش نیکوتین مناسب کرد و باعث افزایش حساسیت و کاهش حد تشخیص گردید. در این راستا ۵ سرعت مختلف ( $50$ ،  $200$ ،  $400$ ،  $100$ ،  $800 \text{ mV.s}^{-1}$ ) مورد بررسی قرار گرفت و تعداد سیکل‌ها در هر بار آزمایش ثابت است و تغییر نمی‌کند و تنها پارامتر متغیر سرعت روش به منظور تهشینی الکتریکی می‌باشد. با افزایش سرعت روش به منظور تهشینی نانوذرات مس در حالی که تعداد سیکل‌ها ثابت می‌باشد و تغییر نمی‌کند، فیلم تهشین شده بر روی سطح الکترد ضخیم‌تر می‌گردد و این افزایش ضخامت دو اثر متفاوت به همراه دارد اول اینکه با افزایش ضخامت فیلم نانوذرات، فعالیت کاتالیستی الکترد به دلیل افزایش سایت‌های فعال افزایش می‌یابد و از طرفی دیگر با افزایش ضخامت فیلم، مقاومت در برابر انتقال یون برای موازنی بار در فرآیند اکسایش و کاهش فیلم افزایش می‌یابد و از طرفی لایه‌های جدید در تماس مستقیم با نانولوله‌ی کربنی نخواهند بود و باعث کاهش اثر هم‌افزایی نانولوله‌ی کربنی چندجذاره و نانوذرات مس می-





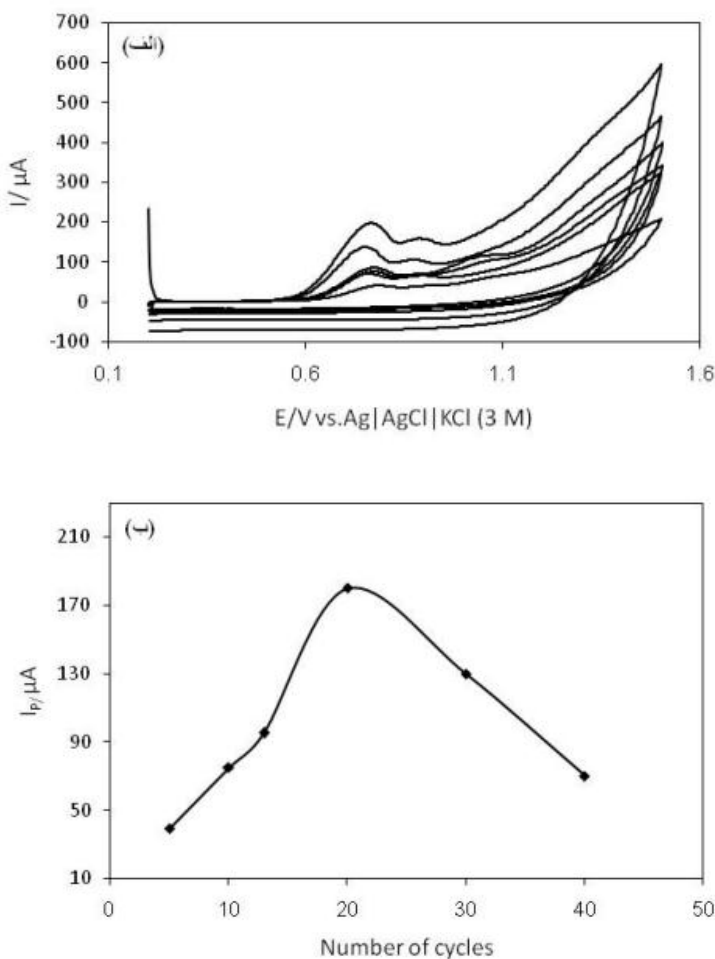
شکل ۲- (الف) ولتاژوگرام‌های چرخه‌ای در حضور محلول  $M\text{--}0.001$  از نیکوتین در سطح الکترود اصلاح شده با نانولوله‌ی کربنی چندجداره با غلظت  $2\text{mg}/\text{ml}$  از اصلاح‌گر با سرعت‌های روش متفاوت ( $50, 100, 200, 400, 800\text{mVs}^{-1}$ ) جهت تهشیبی نانوذرات مس (ب) تغییرات جریان پیک آندی بر حسب سرعت روش تهشیبی الکتریکی در حلال DMF و بافر فسفات  $0.1\text{M}$  با  $\text{pH}=7$ .

در واقع سایز ذرات مس با افزایش بیشتر تعداد سیکل‌ها افزایش می‌یابد و باعث می‌شود تا فعالیت کاتالیستی مربوط به ذرات مس کم شود.

### ۳-۳- تعداد سیکل به منظور تهشیبی الکتریکی نانوذرات مس

با توجه به بررسی‌های انجام گرفته به نظر می‌رسد که تعداد سیکل بر روی تعداد، شکل و سایز نانوذرات مؤثر باشد و در نتیجه با بهینه کردن تعداد سیکل می‌توان شرایط را برای الکتروکاتالیز نیکوتین بر روی سطح الکترود بهبود داد به این منظور ابتدا سطح الکترود کربن شیشه‌ای توسط اصلاح‌گر نانولوله‌ی کربنی با غلظت  $2\text{mg.mL}^{-1}$  اصلاح گردید و سپس  $\text{CuCl}_2.2\text{H}_2\text{O}$  در محلول با غلظت  $1/75\text{ }\mu\text{M}$  از نمک مس قرار داده شد و با تعداد سیکل‌های متفاوت ( $40, 20, 15, 10$  و  $5$ ) مورد آزمایش قرار گرفت.

همان‌طور که در شکل (۳) مشاهده می‌گردد با افزایش تعداد سیکل تا عدد  $20$  بهبود در الکتروکاتالیز نیکوتین را مشاهده می‌کنیم که به علت افزایش تولید نانوذرات مس بر روی سطح الکترود می‌باشد و افزایش تولید نانوذرات مس یعنی افزایش خصوصیت کاتالیستی‌ای که نانوذرات مس به طور ذاتی دارای آن می‌باشند. از طرفی با افزایش بیشتر تعداد سیکل، کاهش در بهبود فرآیند الکتروکاتالیز نیکوتین را مشاهده می‌کنیم که به علت توده شدن نانوذرات و در نتیجه کاهش خاصیت رسانش الکتریکی و کاتالیستی آن‌ها می‌باشد.



شکل ۳- (الف) ولتاوگرام‌های چرخه‌ای در حضور محلول  $AgNO_3$  از نیکوتین در سطح الکترد اصلاح شده با نانولوله‌ی کربنی چندجداره با غلظت  $mg.ml^{-1}$  و نانوذرات مس تعداد سیکل‌های متفاوت (۴۰، ۲۰، ۱۵، ۱۰، ۵) (ب) تغییرات جریان پیک آندی بر حسب تعداد سیکل جهت نشاندن نانوذرات مس در حلal DMF و بافر فسفات  $M/1$  با  $pH=7$  و سرعت روبش  $50. mVs^{-1}$

این محلول‌ها قرار داده شد و توسط ۲۰ سیکل الکترد نهایی اصلاح شده یعنی الکترد اصلاح شده توسط نانولوله‌ی کربنی چندجداره و نانوذرات مس تهیه گردید. با افزایش غلظت نمک مس از  $1\text{ }\mu M$  تا  $1/75\text{ }\mu M$  منحنی سیر صعودی دارد که به علت افزایش تولید نانوذرات مس و در نتیجه افزایش تعداد سایت‌های فعال می‌باشد. با افزایش بیشتر غلظت نمک مس تا غلظت  $2\text{ }\mu M$ ، منحنی روند نزولی را طی می‌کند که به دلیل تولید بیش از حد نانوذرات مس و از بین رفتن خاصیت هم‌افزایی نانولوله‌های کربنی چندجداره و نانوذرات مس می‌باشد در واقع در این قسمت به دلیل تشکیل چندین لایه

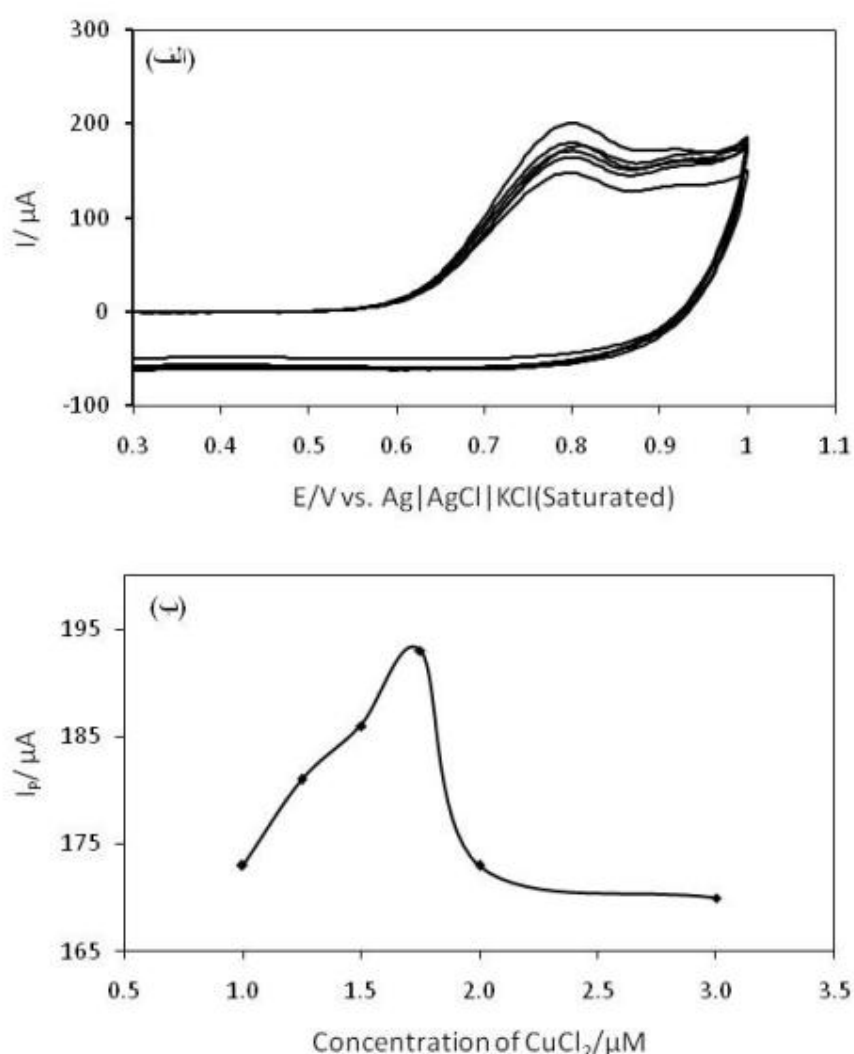
#### ۴-۳- غلظت نمک مس به منظور تهذیب الکتریکی نانوذرات مس

با توجه به بررسی‌های انجام شده به نظر می‌رسد که بتوان با تغییر غلظت نمک مس شرایط را برای الکتروکاتالیز اکسایش نیکوتین مناسب کرد و باعث افزایش حساسیت و کاهش حد تشخیص گردید. جهت بهینه‌سازی غلظت نمک مس، تعداد ۵ محلول از نمک مس با غلظت‌های مختلف ( $1/25$ ،  $1/15$ ،  $1/75$ ،  $2$  و  $3$  mg.mL<sup>-1</sup>) در حلal آب تهیه شد و الکترد اصلاح شده با نانولوله‌ی کربنی (غلظت سوسپانسیون نانولوله‌ی کربنی  $1\text{ mg.mL}^{-1}$ ) در هر کدام از

محلول نمک مس با غلظت  $1/75 \text{ mg.mL}^{-1}$  در مقایسه با سایر محلول‌ها شدت جریان پیک اکسایشی افزایش یافته و بنابراین باعث افزایش حساسیت و کاهش حد تشخیص می‌گردد.

آقای لون ژی و همکارانش نیز غلظت بهینه‌ی نمک مس جهت تهشیینی نانوذرات اکسید مس بر روی الکترود کربن شیشه‌ای را  $1/667 \mu\text{M}$  تخمین زدند که این عدد بسیار نزدیک به غلظت بهینه‌ی ( $1/75 \mu\text{M}$ ) نمک مسی است که ما به دست آوردهیم [۶۲]

نانوذرات مس بر روی یکدیگر ارتباط مستقیم نانوذرات مس در تماس با آنالیت و نانولوله‌ای کربنی منقطع می‌گردد با افزایش بیشتر غلظت نمک مس دیگر تغییری در جریان پیک مشاهده نمی‌گردد که علت آن است که با افزایش غلظت نمک مس تعداد لایه‌های نانوذرات مس افزایش می‌یابد که از این مرحله فقط نانوذرات مس به تنهایی عمل الکتروکاتالیز را به دست می‌گیرند و با افزایش بیشتر غلظت جریان پیک ثابت می‌ماند و تغییری در جریان پیک مشاهده نمی‌گردد. همان‌گونه که در شکل (۴) مشاهده می‌شود استفاده از



شکل ۴- (الف) ولتاوموگرام‌های چرخه‌ای در حضور محلول  $1/001 \text{ M}$  از نیکوتین در سطح الکترود اصلاح شده با نانولوله‌ای کربنی چندجداره و نانوذرات مس با غلظت‌های متفاوت از نمک مس ( $1/25, 1/5, 1/667, 2, 3 \text{ mg.ml}^{-1}$ ) (ب) تغییرات جریان پیک آندی بر حسب غلظت نمک مس در حلال آب و بافر فسفات  $0.1 \text{ M}$  با  $\text{pH}=7$  و سرعت روبش  $50 \text{ mVs}^{-1}$

- Applications; ADVANCED MATERIALS 2008; **20**: 2899–2906.
- [8] Zhang, Y.Z.C.Y.W.P.J.; Carbon nanotube-based DNA biosensor for monitoring phenolic pollutants; Microchim Acta 2009; **166**: 21–26.
- [9] Sun, W., Zhai, Z., Li, X., Qu, L., Zhan, T., Jiao, K.; Direct Electrochemistry of Hemoglobin in Chitosan/Multiwalled Carbon Nanotubes/Ionic Liquid-Modified Carbon-Paste Electrode; Analytical Letters 2009; **42**: 2460–2473.
- [10] Suffredini, HB, Santos, MC, De Souza, D., Codognoto, L., Homem-de-Mello, P., Honório, KM, da Silva, ABF, Machado, SAS, Avaca, L.A.; Electrochemical Behavior of Nicotine Studied by Voltammetric Techniques at Boron-Doped Diamond Electrodes; Analytical Letters 2005; **38**: 1587–1599.
- [11] Sun, Y., Fei, J., Hou, J., Zhang, Q., Liu, Y., Hu, B.; Simultaneous determination of dopamine and serotonin using a carbon nanotubes-ionic liquid gel modified glassy carbon electrode; Microchim Acta 2009; **165**: 373–379.
- [12] Ying-Ling Liu, W.-H.C., Yu-Hsun Chang; Preparation and properties of chitosan/carbon nanotube nanocomposites using poly(styrene sulfonic acid)-modified CNTs; Carbohydrate Polymers 2009; **76**: 232–238.
- [13] Shu-Kun Cui a, D.-J.G.; Highly dispersed Pt nanoparticles immobilized on 1,4-benzenediamine-modified multi-walled carbon nanotube for methanol oxidation; Journal of Colloid and Interface Science 2009; **333**: 300–303.
- [14] Ruifang Gao, J.Z.; Amine-terminated ionic liquid functionalized carbon nanotube-gold nanoparticles for investigating the direct electron transfer of glucose oxidase; Electrochemistry Communications 2009; **11**: 608–611.
- [15] Xinyu Pang, D.H., Shenglian Luo, Qingyun Cai; An amperometric glucose biosensor fabricated with Pt nanoparticle-decorated carbon nanotubes/TiO<sub>2</sub> nanotube arrays composite; Sensors and Actuators 2009; **137**: 134–138.
- [16] Ying Wang, W.W., Xiaoying Liu, Xiandong Zeng; Carbon nanotube/chitosan/gold nanoparticles-based glucose biosensor prepared by a layer-by-layer technique; Materials Science and Engineering 2009; **29**: 50–54.
- [17] Liao-Chuan Jiang, W.-D.Z.; Electrodeposition of TiO<sub>2</sub> Nanoparticles on Multiwalled Carbon Nanotube Arrays for Hydrogen Peroxide Sensing; Electroanalysis 2009; **21**: 988 – 993.
- [18] Liang Su, W.J., Lichun Zhang, Cynthia Beacham, Heng Zhang, and Yu Lei; Facile Synthesis of a Platinum Nanoflower Monolayer on a Single-Walled Carbon Nanotube Membrane and Its Application in Glucose Detection; Phys. Chem. 2010; **114**: 18121–18125.
- [19] Al-Tamrah, S.A.; Spectrophotometric determination of nicotine; ANALYTICA CHIMICA Acta 1999; **379**: 75–80.
- [20] Levert, S.; In The fact about nicotine, Marshall cavendish; 2006: 41-42.

#### ۴- نتیجه‌گیری

در پژوهش قبلی الکترود کربن شیشه‌ای اصلاح شده با نانولوله‌ی کربنی چندجداره و نانوذرات مس تهیه گردید. در آنجا قابلیت الکتروکاتالیز فرآیند اکسایش نیکوتین در سطح الکترد کربن شیشه‌ای اصلاح شده با نانولوله‌ی کربنی چندجداره و نانوذرات مس با روش ولتاویری چرخه‌ای مورد مطالعه قرار گرفت. نتایج حاصله نشان می‌دهند که فرآیند اکسایش نیکوتین در سطح الکترد اصلاح شده کاتالیز می‌شود. در این پژوهش، پارامترهای مؤثر در تهشیینی نانوذرات مس همچون تعداد سیکل، غلظت نمک مس و سرعت روشن در مرحله‌ی تهشیینی بهینه شدند که به ترتیب دارای مقادیر ۲۰، ۱/۷۵ μM و ۱۰۰ mV.s<sup>-1</sup> بودند.

#### مراجع

- [1] Pikna S.Š.a.L.u.; Optimization of Conditions for Preparation of Carbon Origin Solid Electrodes Modified with Carbon Nanotube; Particulate Science and Technology 2011; **29**: p. 311–319.
- [2] Weilin Xu, H.S., Yoon Ji Kim, Xiaochun Zhou, Guokun Liu, Jiwoong Park, and Peng Chen; Single-Molecule Electrocatalysis by Single-Walled Carbon Nanotubes; NANO LETTERS 2009; **9**: 3968–3973.
- [3] Hao-Xu Zhang, C.F., Yong-Chao Zhai, Kai-Li Jiang, Qun-Qing Li, and Shou-Shan Fan; Cross-Stacked Carbon Nanotube Sheets Uniformly Loaded with SnO<sub>2</sub> Nanoparticles: A Novel Binder-Free and High-Capacity Anode Material for Lithium-Ion Batteries; ADVANCED MATERIALS 2009; **21**: 2299–2304.
- [4] Jian-Ding Qiu a, b., Wen-Mei Zhou a, Jin Guo a, Rui Wang a, Ru-Ping Liang; Amperometric sensor based on ferrocene-modified multiwalled carbon nanotube nanocomposites as electron mediator for the determination of glucos; Analytical Biochemistry 2009; **385**: 264–269.
- [5] Ying Wang, W.W., Jinxiang Zeng, Xiaoying Liu, Xiandong Zeng; Fabrication of a copper nanoparticle=chitosan=carbon nanotube-modified glassy carbon electrode for electrochemical sensing of hydrogen peroxide and glucos; Microchim Acta 2008; **160**: 253–260.
- [6] Hu, M.G.a.Y.J.Y.a.S.H.a.M.G.b.M.G.c.S.; The Voltammetric Determination of Phenolphthalein on Multi-walled Carbon Nanotube-DHP Composite Film-modified Glassy Carbon Electrode. Fullerenes; Nanotubes and Carbon Nanostructures 2009; **17**: 285–297.
- [7] Jie Yan, H.Z., Ping Yu, Lei Su, and Lanqun Mao; Rational Functionalization of Carbon Nanotubes Leading to Electrochemical Devices with Striking

